

Zeitschrift: Schweizerische Bauzeitung
Herausgeber: Verlags-AG der akademischen technischen Vereine
Band: 85/86 (1925)
Heft: 23

Artikel: Ueber die Wanderung der Wandbeschaffenheit bei Modellversuchen
Autor: Schoklitsch, Armin
DOI: <https://doi.org/10.5169/seals-40133>

Nutzungsbedingungen

Die ETH-Bibliothek ist die Anbieterin der digitalisierten Zeitschriften auf E-Periodica. Sie besitzt keine Urheberrechte an den Zeitschriften und ist nicht verantwortlich für deren Inhalte. Die Rechte liegen in der Regel bei den Herausgebern beziehungsweise den externen Rechteinhabern. Das Veröffentlichen von Bildern in Print- und Online-Publikationen sowie auf Social Media-Kanälen oder Webseiten ist nur mit vorheriger Genehmigung der Rechteinhaber erlaubt. [Mehr erfahren](#)

Conditions d'utilisation

L'ETH Library est le fournisseur des revues numérisées. Elle ne détient aucun droit d'auteur sur les revues et n'est pas responsable de leur contenu. En règle générale, les droits sont détenus par les éditeurs ou les détenteurs de droits externes. La reproduction d'images dans des publications imprimées ou en ligne ainsi que sur des canaux de médias sociaux ou des sites web n'est autorisée qu'avec l'accord préalable des détenteurs des droits. [En savoir plus](#)

Terms of use

The ETH Library is the provider of the digitised journals. It does not own any copyrights to the journals and is not responsible for their content. The rights usually lie with the publishers or the external rights holders. Publishing images in print and online publications, as well as on social media channels or websites, is only permitted with the prior consent of the rights holders. [Find out more](#)

Download PDF: 24.04.2026

ETH-Bibliothek Zürich, E-Periodica, <https://www.e-periodica.ch>

INHALT: Ueber Veränderung der Wandbeschaffenheit bei Modellversuchen. — Die Einphasenstrom-Schnellzuglokomotive, Typ Ae³/₆, der S. B. B. — Bahnhof-Wettbewerb Genf-Cornavin. — Miscellanea: Schweizerische Bundesbahnen. Hölzerne, gedeckte Strassenbrücke über den Neckar. Schweizerischer Elektrotechnischer Verein. Das englische Starrluftschiff R 33. Messung der Abnutzung der Strassenfahrbahn. Ein neu-

artiger Kabelkran. Elektrifikation der Arlberglinie. — Nekrologie: H. Müller-Breslau. — Konkurrenzen: Bebauungsplan für die Gemeinde Weinfelden. Stadtrücke in Drammen. Th. Kochergasse und Kasinoplatz Bern. — Literatur. — Vereinsnachrichten: Sektion Bern des S. I. A. Gesellschaft ehemaliger Studierender der E. T. H. S. T. S.

Band 85.

Nachdruck von Text oder Abbildungen ist nur mit Zustimmung der Redaktion und nur mit genauer Quellenangabe gestattet.

Nr. 23

Ueber die Veränderung der Wandbeschaffenheit bei Modellversuchen.

Von Privatdozent Dr. techn. ARMIN SCHOKLITSCH, Zivilingenieur in Graz.

Die Bewegungsweise des Wassers ändert sich, wie bekannt, sowohl in Rohrleitungen als auch in offenen Gerinnen bei Ueberschreitung einer kritischen Geschwindigkeit sprungweise, indem das Gleiten plötzlich ins Fliesen übergeht. Mit dieser kritischen Geschwindigkeit hat sich eine Reihe von Forschern befasst, nachdem *O. Reynolds* über die mechanische Aehnlichkeit zweier Strömungen in geometrisch ähnlichen Kanälen die grundlegenden Betrachtungen angestellt hatte. Reynolds erklärte nämlich, dass die Bewegung in solchen Kanälen dann mechanisch ähnlich erfolgt, wenn die Trägheitskräfte und die Reibungskräfte in beiden im selben Verhältnisse zu einander stehen. Betrachtet man die aus den Navier'schen Gleichungen stammenden Glieder

$$\frac{\gamma}{g} u \frac{\partial u}{\partial x} \text{ und } \eta \frac{\partial^2 u}{\partial x^2}$$

(u = Geschwindigkeit, x = Länge, γ = Eigengewicht, η = Zähigkeit) als Vertreter der Trägheits- bzw. der Reibungskräfte, so muss also, da diese Glieder die Dimensionen

$$\frac{\gamma}{g} \frac{u^2}{x} \text{ und } \eta \frac{u}{x^2}$$

haben, für die verglichenen Strömungen

$$\frac{\gamma}{g} \frac{u^2}{x} : \eta \frac{u}{x^2} = \text{konst} \quad (1)$$

oder

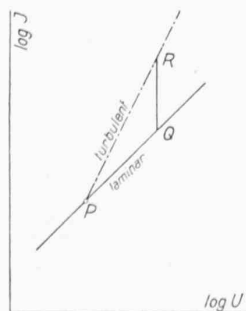
$$\frac{\gamma}{g \eta} u x = \text{konst} = E \quad (2)$$

sein. Soll für die Strömung in einem Rohr oder in einem offenen Gerinne die Reynolds'sche Zahl E berechnet werden, so hat man nur für x die für die Bewegung massgebende Abmessung des Querschnittes, also den Rohrdurchmesser D bzw. die Wassertiefe H zu setzen und hat dann für die Reynolds'sche Zahl

$$E = \frac{\gamma}{\eta g} D U \text{ bzw. } \frac{\gamma}{\eta g} H U = \text{konst} \quad (3)$$

zu schreiben.

Für die kritische Reynolds'sche Zahl, bei der die laminare Bewegung in die turbulente übergeht, finden sich in der Literatur ziemlich weit auseinander liegende Angaben. Neuerdings hat *L. Schiller*¹⁾ eingehende Versuche an Rohren angestellt und gefunden, dass der Beginn der turbulenten Bewegung von der grössten Störung im Bereiche der Strömung abhängt und dass der Sitz dieser Störung auch unmittelbar vor dem Einlauf zum Versuchsrohre liegen kann. Je grösser die Reynolds'sche Zahl E war, die der Strömung entsprach, eine desto geringere Störung verursachte turbulente Bewegungsweise. Der plötzliche Uebergang von der laminaren zur turbulenten Bewegungsweise (Abb. 1) rückt gegen den Punkt P umso näher heran, je grösser die Störung ist. Dem Punkte P , dem etwa $E_p = 1160$ bei gezogenen Messing-Rohren nach den Versuchen von Schiller entspricht, kommt nun besondere Bedeutung zu; von P ab kann nämlich überhaupt erst die laminare Bewegung in die turbulente übergehen. In P



Uebergang von der laminaren zur turbulenten Bewegungsweise (Abb. 1) rückt gegen den Punkt P umso näher heran, je grösser die Störung ist. Dem Punkte P , dem etwa $E_p = 1160$ bei gezogenen Messing-Rohren nach den Versuchen von Schiller entspricht, kommt nun besondere Bedeutung zu; von P ab kann nämlich überhaupt erst die laminare Bewegung in die turbulente übergehen. In P

muss daher sowohl die Formel für die laminare als auch jene für die turbulente Bewegung gelten, also sowohl

$$U_p = \frac{\gamma}{32 \eta} J D^2 \quad (4)$$

als auch nach der Formel von *Ph. Forchheimer*²⁾

$$U_p = \frac{1}{n} J^{1/2} \left(\frac{D}{4} \right)^{0.7} \quad (5)$$

(J = Gefälle, n = Rauigkeit nach Ganguillet und Kutter) gelten.

Aus den Gleichungen (4) und (5) folgt:

$$U_p = \frac{32 \lambda^2}{4^{1.4} \gamma D^{0.6} n} \quad (6)$$

oder

$$\frac{U_p \gamma D}{\eta} = \frac{32 D^{0.4}}{6,964 n^2} = 4,595 \frac{4}{n^2} D^{0.4} \quad (7)$$

und wenn noch beiderseits durch g dividiert wird, hat man

$$E_p = \frac{\gamma U_p D}{\eta g} = 4,595 \frac{D^{0.4}}{g n^2} \quad (8)$$

Gleichung (8) ist nun nichts anderes als der Ausdruck für die Reynolds'sche Zahl E , die der Bewegung im Punkte P entspricht.

Eine ähnliche Betrachtung für offene Gerinne liefert für die der Geschwindigkeit U_p entsprechende Reynolds'sche Zahl

$$E_p = \frac{3}{g n^2} H^{0.4} \quad (9)$$

Es ergibt sich also in offenen Gerinnen ein weit kleinerer Wert als bei Rohren.

Die aufgestellten Ausdrücke für die Reynolds'sche Zahl E_p erlauben nun, auf die durch das Aehnlichkeits-Gesetz geforderte Aenderung der Wandbeschaffenheit zwischen Modell und Natur zu schliessen. Der Vorgang sei an der Strömung durch einen engen Modellkanal und einen weiten Naturkanal erläutert; die mechanische Aehnlichkeit erfordert in den beiden geometrisch ähnlichen Kanälen gleiche Reynolds'sche Zahlen. Herrscht nun z. B. in beiden Kanälen gerade die Geschwindigkeit U_p , so ist die Bewegung in beiden jedenfalls mechanisch ähnlich; in beiden Kanälen muss dann der Ausdruck

$$E_p = 4,595 \frac{1}{g n^2} D^{0.4} \text{ bzw. } \frac{3}{g n^2} H^{0.4}$$

erfüllt sein, das heisst aber, dass die Bewegung in beiden Kanälen nur dann mechanisch ähnlich verlaufen kann,

wenn in beiden der Quotient $\frac{D^{0.4}}{n^2}$ den gleichen Wert hat.

Werden die Grössen für den Modellkanal durch den Index 1, jene für den Naturkanal durch den Index 2 kenntlich gemacht, so muss also bei Rohren

$$\frac{D_1^{0.4}}{n_1^2} = \frac{D_2^{0.4}}{n_2^2} \quad (10)$$

oder

$$\frac{n_2}{n_1} = \left(\frac{D_2}{D_1} \right)^{0.2} \quad (11)$$

und analog bei offenen Gerinnen

$$\frac{n_2}{n_1} = \left(\frac{H_2}{H_1} \right)^{0.2} \quad (12)$$

sein, wobei in offenen Gerinnen für H_1 und H_2 jene Wassertiefen zu setzen sind, bei denen das Wasser bei den zu Grunde gelegten Gefällen eben mit der Geschwindigkeit U_p abfliessen würde.

¹⁾ Zeitschrift für angewandte Mathematik und Mechanik I (1921), Seite 436 f.

²⁾ Ph. Forchheimer: «Der Durchfluss des Wassers durch Röhren und Gräben usw». Berlin 1923.

Haben z. B. zwei Rohre die Durchmesser $D_1 = 0,10\text{ m}$ und $D_2 = 1,0\text{ m}$ und wird das Modellrohr aus Zement mit $n_1 = 0,0123$ hergestellt, so muss für das zweite Rohr $n_2 = n_1 \left(\frac{D_2}{D_1}\right)^{0,2} = 0,0194$ sein; das weite Rohr müsste also etwa aus rauhem Bruchsteinmauerwerk hergestellt werden.

Die oben aufgestellte Beziehung für die Veränderung der Wandbeschaffenheit bei Modellversuchen lässt ohne weiteres erkennen, dass es unmöglich ist, für ein im Grossen schon sehr glatt, etwa in glattem Holz oder geglättetem Zement hergestelltes Bauwerk ein Modell anzufertigen, in dem die Bewegung mechanisch ähnlich vorsieht, da den für die Herstellung der Modelle in Betracht kommenden Stoffen keine so niedrigen n zukommen, wie es die Gleichungen (11) und (12) fordern.

Graz, im Januar 1924.

Die Einphasenstrom-Schnellzuglokomotive, Typ A^e 3/6, der Schweizerischen Bundesbahnen.

(Schluss von Seite 279.)

II. Elektrische Ausrüstung.

Das Bestreben der Schweizerischen Bundesbahnen, die Lagerhaltung kompletter Maschinen, Apparate und deren Bestandteile zu vereinfachen, um damit andererseits die Anschaffungs- und Unterhaltungskosten der Fahrzeuge möglichst herabzusetzen, hat seit einer Reihe von Jahren zur schrittweisen Normalisierung einer grösseren Anzahl gründlich erprobter und bewährter Ausrüstungsteile geführt. Aus dem vor kurzem hier erschienenen bezüglichen Artikel von Ingenieur F. Steiner (S. 83 und 103 lfd. Bds., 14./21. Feb. 1925) ist den Lesern der „S. B. Z.“ bekannt, wie weit diese Normalisierung durchgeführt worden ist. Die normalisierten Apparate sind zum Teil in jenem Artikel dargestellt. Wir können uns also hier auf die Teile der elektrischen Ausrüstung beschränken, die nicht unter die Normalisierung fallen, oder die gegenüber früheren Konstruktionen wesentlich Neues bieten. Im übrigen verweisen wir auf das in letzter Nummer (Tafel 12) veröffentlichte Schaltungsdiagramm, dessen Legende eine Aufstellung aller vorhandenen Apparate gibt.

Die Anordnung der elektrischen Ausrüstung im Innern des Lokomotiv-Kastens (vergl. Abb. 9, S. 278, und Tafel 11) ist durch die zentrale Lagerung der Motoren bestimmt. Nach vorn, gegen das zweiachsige Laufachsgestell hin, schliessen an den Motorraum der Hauptschalter und die Zugheizungs-Hüpfel, dann der Stufentransformator und schliesslich die zwei längsgestellten Stufenschalter. Der Raum zwischen diesen Stufenschaltern, der zum Revidieren derselben dient, kann vom vordern Führerstand aus durch eine verriegelte Türe begangen werden. Gegen den hintern Führerstand zu schliessen an den Triebmotorenraum die Transformator-Kühlgruppe mit aufgebautem Motorgenerator und die Compressorgruppe an. In diesem Raume sind ferner die Gleichstrom-, Wechselstrom- und Relais-Schalttafeln untergebracht (vergl. die Skizze links unten auf dem Schaltungsdiagramm Abb. 10, Tafel 12). Im fernern befinden sich in der Nähe des Kompressors an der betreffenden Führerstand-Rückwand der Kompressor-Automat, der Anlasshüpfel und der Widerstand zum Kompressormotor. Im Dachaufsatz über dem Motorraum, mit dem betreffenden Dacheil

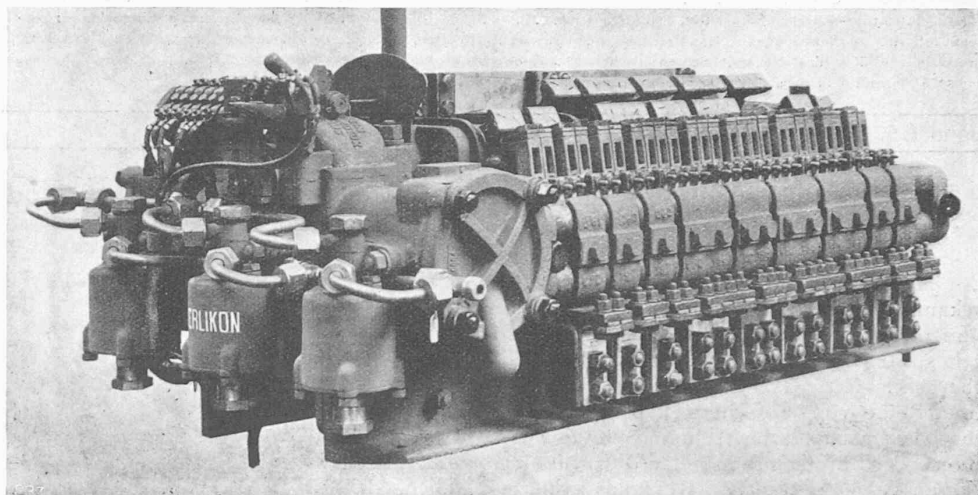


Abb. 14. Wendeschalter mit elektro-pneumatischem Antrieb der Lokomotive Nr. 10401.

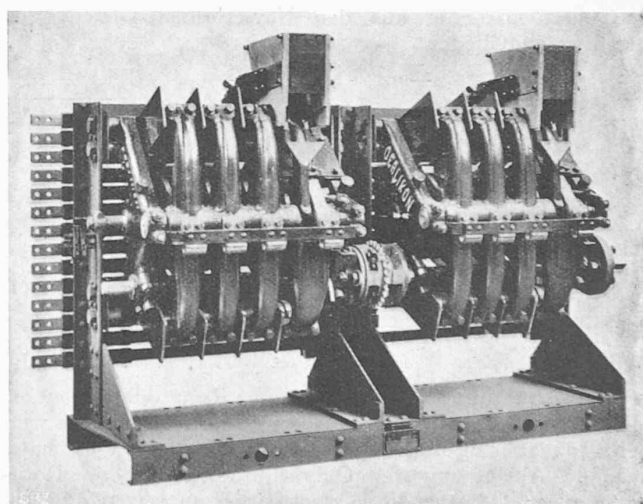


Abb. 13. Stufenschalter für elektrische oder Handsteuerung.

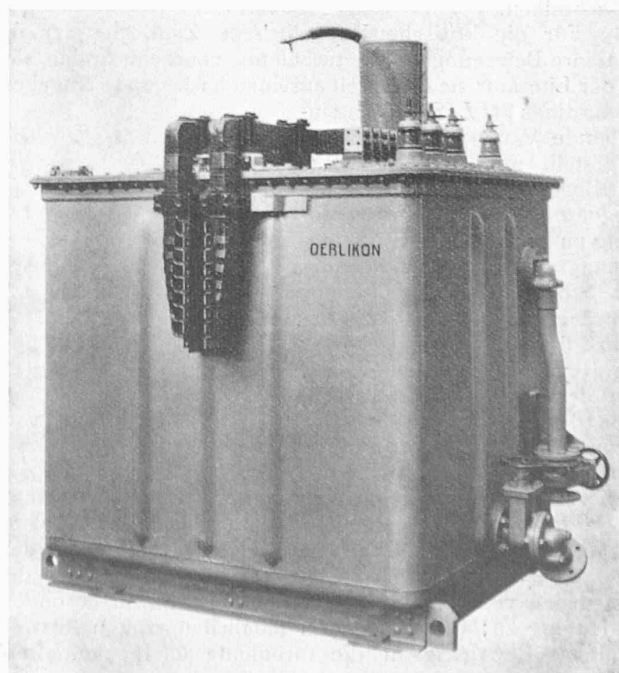


Abb. 11. Transformator der Lokomotiven Nr. 10401 bis 10420.